

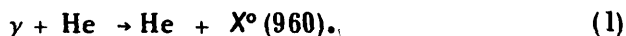
**О ВОЗМОЖНОСТИ ОПРЕДЕЛЕНИЯ
СПИН-ЧЕТНОСТИ χ^0 (960)-МЕЗОНА
В ЭЛЕКТРОМАГНИТНЫХ ВЗАИМОДЕЙСТВИЯХ**

А. Н. Заславский, В. А. Хозе

1. В настоящее время спин-четность χ^0 (960)-мезона не твердо установлена [1, 2]. Имеющиеся бедные экспериментальные данные могут быть согласованы в равной мере с гипотезами 2^- и 0^- для спин-четности χ^0 (960)-мезона, гипотеза 2^- представляется даже более предпочтительной [3]. Анализ распадов $\chi^0 \rightarrow \eta 2\pi$, $\chi^0 \rightarrow \rho^0 \gamma$, $\chi^0 \rightarrow 2\gamma$ не позволяет различить гипотезы 0^- и 2^- из-за отсутствия отчетливо выраженных запретов. В этой связи становится важным изучение механизма рождения χ^0 (960) в различных реакциях в сильных и электромагнитных взаимодействиях.

В данной работе анализируются процессы электромагнитного рождения χ^0 (960)-мезона, с целью установления его спин-четности.

2. Фоторождение χ^0 (960) на ядре со спином 0. Интересная возможность определения спина χ^0 -мезона существует в реакции¹⁾



¹⁾ В настоящее время имеются экспериментальные данные по фоторождению χ^0 (960) на протоне [4]. Максимальное $\sigma \sim 1,5$ мкв. достигается при $E_\gamma \sim (1,6 - 1,7)$ Гэв.

Выбор гелия диктуется как спином 0 ядра, так и отсутствием близко лежащих возбужденных состояний. В реакции $\gamma + \text{He} \rightarrow \text{He} + X^0$ (960) есть целый комплекс эффектов, позволяющих сделать заключение о спин-четности X^0 и основанных на том, что спин ядра гелия равен 0. Для альтернативы 0^- дифференциальное сечение реакции (1) сильно зависит от угла рождения X^0 и обращается в нуль при $\theta \rightarrow 0^\circ, (180^\circ)$, как $\sin^2 \theta$. Для гипотезы $J^P(X^0) = 2^-$ простейшее угловое распределение не исчезает при $\theta = 0^\circ, (180^\circ)$.

Зависимость дифференциального сечения процесса $\gamma + \text{He} \rightarrow \text{He} + X^0$ от поляризации начального фотона для $J^P(X^0) = 0^-$ резко выражена

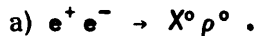
$$\frac{d\sigma}{d\Omega} \xi = \frac{d\sigma_0}{d\Omega} (1 + \xi), \quad (2)$$

где ξ – параметр Стокса фотона, характеризующий степень линейной поляризации фотона вдоль нормали к плоскости реакции, $d\sigma_0/d\Omega$ – дифференциальное сечение процесса с неполяризованными γ -квантами. Отклонение от этой зависимости несовместимо с псевдоскалярностью X^0 -мезона. Представляют интерес также и пороговые эффекты, различные для обеих гипотез (пороговое поведение сечения $\sim |q|^3$ в случае $J^P(X^0) = 0^-$ и $\sim |q|$ в случае $J^P(X^0) = 2^-$). Кроме того, вблизи порога сечение для альтернативы 2^- не зависит от поляризации γ -кванта.

Кулоновское фоторождение может в случае гипотезы 0^- полностью имитировать спин 2^- для X^0 -мезона [2]. Поэтому исследование реакции $\gamma + \text{He} \rightarrow \text{He} + X^0$ (960) необходимо проводить в области, где несущественно кулоновское фоторождение [5] ²⁾.

3. Рождение X^0 (960)-мезона в реакциях на встречных e^+e^- -пучках.

В настоящее время планируются эксперименты [7] по рождению X^0 (960)-мезона на встречных e^+e^- -пучках в реакциях $e^+e^- \rightarrow X^0 \rho^0(X^0 \gamma)$. Изучение таких процессов представляет интерес и с точки зрения определения спин-четности X^0 (960)-мезона.



Дифференциальное сечение двухчастичной аннигиляции пары e^+e^- в однофотонном приближении записывается в СЦИ в виде

$$\frac{d\sigma}{d\Omega} \sim A(\Delta^2) (1 + \cos^2 \theta) + B(\Delta^2) \sin^2 \theta, \quad (3)$$

где $\Delta^2 = 4E^2$, E – энергия электрона в СЦИ, θ – угол между импульсами начальных и конечных частиц. Если X^0 (960) псевдоскалярен, то $B = 0$ для процесса а) и для дифференциального сечения имеем

$$\frac{d\sigma_0}{d\Omega} \sim A(\Delta^2) (1 + \cos^2 \theta). \quad (4)$$

¹⁾ Фоторождение псевдоскалярных мезонов на гелии подробно рассматривалось Царевым [6].

Амплитуда реакции $e^+e^- \rightarrow X^0\rho^0$ для $J^P(X^0) = 2^-$ зависит от четырех формфакторов [5]. Вблизи порога (при $(|q|^2/m_x^2) \ll 1$, q — импульс конечного ρ^0 -мезона в СЦИ) дифференциальное сечение определяется только двумя амплитудами и имеет вид (3), причем

$$A = |q|^2 \left\{ 2 + 5 \left[\left| \frac{m_x}{m_x + m_\rho} C + 1 \right|^2 + \frac{m_x^2}{(m_x + m_\rho)^2} |C|^2 \right] \right\}, \quad (5)$$

$$B = 6 |q|^2,$$

где C — параметр смешивания двух амплитуд, дающих основной вклад в распад $X^0 \rightarrow \rho^0\gamma$. Именно эта область энергий представляет реальный интерес, так как $d\sigma/d\Omega$ быстро падает с ростом энергии. При $C = -1$ достигается хорошее согласие гипотезы 2^- с экспериментальными данными по распаду $X^0 \rightarrow \rho^0\gamma$ [3], тогда имеем

$$\frac{d\sigma}{d\Omega} \sim |q|^2 (7,2 + \sin^2\theta). \quad (6)$$

Сравнение формул (4), (5) и (6) приводит к выводу, что поведение дифференциального сечения реакции $e^+e^- \rightarrow X^0\rho^0$ вблизи порога позволяет различить гипотезы 0^- и 2^- для X^0 -мезона.

$$б) e^+e^- \rightarrow X^0\gamma.$$

В случае $J^P(X^0) = 0^-$ дифференциальное сечение реакции $e^+e^- \rightarrow X^0\gamma$ такое же как для реакции $e^+e^- \rightarrow X^0\rho^0$ и дается формулой (4). Амплитуда реакции б) зависит от трех формфакторов, если $J^P(X^0) = 2^-$ [5]. Вблизи порога реакции, в области ϕ -резонанса, где сечения как раз велики, в дифференциальном сечении можно опустить члены порядка $|q|/m_x \sim 0,06$. С указанной точностью угловое распределение определяется только одним формфактором и имеет вид

$$\frac{d\sigma}{d\Omega} \sim (14 - \sin^2\theta). \quad (7)$$

Исследование дифференциального сечения процесса $e^+e^- \rightarrow X^0\gamma$ вблизи порога позволяет таким образом, определить спин X^0 -мезона.

4. Распад $X^0 \rightarrow \rho^0 e^+e^-$.

Можно показать, что из-за малого энерговыделения, по величине коэффициента конверсии

$$\left(k = \frac{\Gamma(X^0 \rightarrow \rho^0 e^+e^-)}{\Gamma(X^0 \rightarrow \rho^0\gamma)} = \frac{\alpha}{3\pi} \left[2 \ln \frac{m_x - m_\rho}{m_e} - 3,4 \right] \sim \frac{1}{150} \right)$$

и диаграмме Далитца для распада $X^0 \rightarrow \rho^0 e^+ e^-$ нельзя установить спин X^0 -мезона, так как с хорошей точностью коэффициент конверсии и распределение на диаграмме Далитца совпадают для $J^P(X^0) = 0^-$ и 2^- .

Однако, изучение корреляции между относительным импульсом пионов от распада ρ^0 -мезона и импульсами $e^+ e^-$ пары в системе покоя ρ^0 -мезона позволяет различить гипотезы 0^- и 2^- для спин-четности X^0 -мезона. Для альтернативы $J^P(X^0) = 0^-$ зависимость распределения γ -мезонов распада от угла вылета резко выражена

$$W(\theta, \phi, \gamma) = \left[\frac{\Delta^2}{2} - 2 \sin^2 \theta \sin^2 \phi p_{e^+}^2 \right] \sin^2 \gamma, \quad (8)$$

где θ — угол между направлением импульсов позитрона (p_{e^+}) и X^0 -мезона (K) в системе покоя ρ^0 , γ — угол, между импульсами X^0 (K) и π^+ (q) в этой системе, ϕ — угол, между плоскостями, образованными векторами (k, p_{e^+}) и (k, q) , $\Delta^2 = (p_{e^+} + p_{e^-})^2$.

Если $J^P(X^0) = 2^-$, то угловое распределение $W(\theta, \phi, \gamma)$ слабо зависит от углов γ и ϕ . Таким образом, изучение распределения $W(\theta, \phi, \gamma)$ позволяет при достаточном числе событий определить спин X^0 -мезона.

Зависимость от поляризации γ -кванта в распаде $X^0 \rightarrow \rho^0 \gamma$ различна для $J^P(X^0) = 2^-$ и 0^- . Этот факт можно было бы использовать для определения спина X^0 , если бы оказалось возможным измерение поляризации быстрого γ -кванта. Возможность определения спина X^0 -мезона имеется также и в реакции $\gamma + p \rightarrow p + X^0$ на поляризованной мишени.

Детальное рассмотрение изложенных вопросов будет приведено в подробном изложении работы.

Можно надеяться, что накопление экспериментальных данных позволит решить важный вопрос о квантовых числах X^0 (960)-мезона в ближайшее время.

Авторы искренне благодарны В.И.Огиевскому за постановку проблемы и многочисленные обсуждения, И.Г.Азнаурян, С.Б.Герасимову, К.А.Испиряну, С.Г.Матияну, Р.М.Рындиному и особенно Б.Н.Валуеву за полезные обсуждения.

Поступила в редакцию
3 мая 1971 г.

Литература

- [1] Particle Data Group. Phys. Lett., 33B, 1, 1970.
- [2] А.Н.Заславский, В.И.Огиевецкий, В.Тыбор. Письма в ЖЭТФ, 6, 604, 1967; ЯФ, 9, 852, 1969.
- [3] V.I.Ogievetsky, W.Tybor, A.N.Zaslavsky. Preprint JINR, E2-5627, 1971, Dubna.
- [4] Aachen — Berlin — Bonn — Hamburg — München — Heidelberg Collaboration Phys. Rev., 175, 1669, 1968.

- [5] V.A.Khoze, A.N.Zaslavsky. Preprint YPI, 1971, Yerevan.
[6] В.А.Хозе. ЯФ, **10**, 367, 1969.
[7] W.Ash et al. Preprint LNF-69/6, 1969.
-